

# 基于模糊自适应分数阶带钢纠偏控制策略研究<sup>①</sup>

车海军<sup>②\*\*\*</sup> 马鲁飞<sup>\*\*\*</sup> 杨景明<sup>\*\*\*</sup> 武炳林<sup>\*\*\*</sup>

(<sup>\*</sup> 燕山大学工业计算机控制工程河北省重点实验室 秦皇岛 066004)

(<sup>\*\*</sup> 国家冷轧板带装备及工艺工程技术研究中心 秦皇岛 066004)

**摘要** 针对冶金带钢轧制过程中纠偏执行机构电液伺服系统蝶形区、内漏引起的位置跟踪速度慢与精度低的问题,结合分数阶控制、改进 Oustaloup 算子近似滤波、模糊自适应控制,同时加入非线性控制因子,提出了多参量自由度的基于改进 Oustaloup 算子的模糊自适应分数阶线性与非线性两种纠偏控制算法。经仿真实验对比,验证了设计的控制算法比普通 PID 稳态精度提高了 88.57%、时间缩短了 53.33%,不仅能保证最佳轨迹跟踪,而且可以改善模型不确定性和瞬变干扰抑制的鲁棒性。

**关键词** 纠偏控制, 电液伺服系统, 位置跟踪, 分数阶, 模糊自适应

## 0 引言

在冶金工业中,带钢纠偏装置可以有效地提高带钢的产量与质量,因此该装置在工程中被广泛应用。电液伺服系统因具有响应速度快、驱动负载功率大、控制精度高等特点成为带钢纠偏系统执行机构首选<sup>[1]</sup>;但电液伺服系统具有典型的时变、非线性的特点,在工作中易受系统参数与负载变化的影响,使模型不准确,导致常规的 PID 达不到预期的控制效果,因此,国内外学者对电液伺服系统的控制方法做了大量研究<sup>[2~4]</sup>。

分数阶微积分数学模型具有整体信息记忆能力,能更加准确地描述系统的动态响应,分数阶  $PI^{\lambda}D^{\delta}$  将传统整数阶 PID 推广至分数阶领域,从局部控制推广到整体控制,提高了对动态系统的控制、表征、设计的能力<sup>[5]</sup>。文献[6]表明分数阶  $PI^{\lambda}D^{\delta}$  在工程运用时具有明显的优越性。文献[7]用直接微积分法将分数阶推广到模糊控制中去。由于直接微积分法计算复杂,因此文献[8,9]利用传统 Ousta-

loup 算子提出间接法近似分数阶高精度数字实现。但依然存在鲁棒性低、自适应差、控制速度慢、控制精度较低等问题。

针对以上问题,同时考虑到纠偏系统时变、非线性、模型不准确等问题,本文将改进的 Oustaloup 算子数字实现,同时与自适应模糊控制结合,提高了传统 Oustaloup 算子的边界精度,且使控制器更具有自适应性;同时将改进的分数阶控制器推广到非线性领域,提出一种新的控制方法。通过仿真实验表明,本文提出的两种算子对复杂非线性系统更具有自适应性,跟踪速度快,跟踪精度高,具有良好的控制品质,可满足冶金工程中带钢纠偏要求。

## 1 纠偏系统数学模型建立

本纠偏系统主要由电液伺服系统构成,通过分析电液伺服阀、伺服放大器、液压伺服油缸、位置传感器各部件的相关数学模型,根据机理法,推导系统数学模型,纠偏控制系统结构组成如图 1 所示。

<sup>①</sup> 河北省高等学校创新团队领军人才培育计划(LJRC013)和河北省自然科学基金(F2016203249)资助项目。

<sup>②</sup> 男,1974 年生,博士生,硕士生导师,副教授;研究方向:智能控制理论及应用,带钢纠偏装置设计及纠偏理论研究,交流电机智能控制,冶金自动化等;联系人,E-mail: hjche@ysu.edu.cn

(收稿日期:2018-09-19)

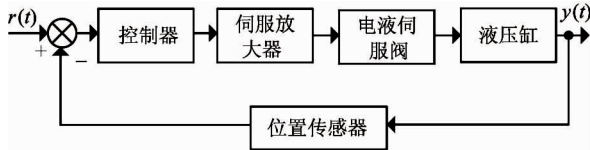


图 1 纠偏系统结构图

## 1.1 电液伺服阀数学模型

电液伺服阀为电液伺服系统动力元件,在系统动态分析时,传递函数如下:

$$G_{sv}(s) = \frac{Q_0(s)}{I_c(s)} = \frac{K_{sv}}{\frac{s^2}{\omega_{sv}^2} + \frac{2\zeta_{sv}}{\omega_{sv}}s + 1} \quad (1)$$

$$K_{sv} = \frac{Q_0}{I_c} \sqrt{\frac{P_s}{P_{sv}}} \quad (2)$$

式中,  $Q_0$  为空载时流量(L/min),  $I_c$  为输入电流(mA),  $K_{sv}$  为阀增益( $\text{m}^3/\text{s} \cdot \text{A}$ ),  $\omega_{sv}$  为阀固有频率,  $\zeta_{sv}$  为阀阻尼比,  $P_s$  为实际供油压力(MPa),  $P_{sv}$  为额定供油压力(MPa)。

## 1.2 伺服放大器数学模型

伺服放大器是控制电液伺服阀的功率放大器件,且控制电流与偏差电压成比例关系。本文采用的是自行研制的隔离型伺服放大器,有效地避免了扰动信号的干扰,并且对伺服阀起到了保护作用。其输出信号与输入信号比例函数关系如下所示:

$$K_s = \frac{I_o}{U_i} \quad (3)$$

式中,  $K_s$  为伺服放大器比例系数(mA/V),  $I_o$  为输入信号(mA),  $U_i$  为输出信号(V)。

## 1.3 液压缸数学模型

在对液压缸进行系统分析时,建立液压缸的流量方程、负载与液压缸平衡方程、四通滑阀的流量方程<sup>[10]</sup>如下:

$$\begin{cases} Q = A_p s X_p + C_{ip} P_L + (V_t / 4\beta_e) s P_L \\ F_p = A_p P_L = m_t s^2 X_p(s) + B s X_p(s) \\ \quad + k X_p(s) + F_L / s \\ Q = K_q X_v - K_{cp} L \end{cases} \quad (4)$$

式中,  $A_p$  为活塞等效面积( $\text{m}^2$ ),  $V_t$  为总压缩容积,  $\beta_e$  为油液有效体积弹性模量,  $P_L$  为负载压力(MPa),  $m_t$  为等效总质量(kg),  $B$  为负载与活塞的粘滞阻尼系数,  $F_L$  为作用在活塞的外力(N),  $K_q$  为

四通阀流量压力系数。假设无外在负载的干扰,通过式(4),可推导出液压缸位移  $X_p(s)$  与阀口开度  $X_v(s)$  之间的传递函数:

$$K_{ce} = K_c + C_{tp} \quad (5)$$

$$\frac{X_p(s)}{X_v(s)} =$$

$$\frac{K_q/A_p}{\frac{V_t m_t s^3}{4\beta_e A_p^2} + \left(\frac{m_t K_{ce}}{A_p^2} + \frac{B_p V_t}{4\beta_e A_p^2}\right)s^2 + \left(1 + \frac{B_p K_{ce}}{A_p^2} + \frac{KV_t}{4\beta_e A_p^2}\right)s + \frac{KK_{ce}}{A_p^2}} \quad (6)$$

化简可得液压缸的近似三阶传递函数如下:

$$A_p = \frac{\pi}{4}(D^2 - d^2) \quad (7)$$

$$\omega_n = \sqrt{\frac{4\beta_e A_p^2}{V_t m_t}} \quad (8)$$

$$G_{cy}(s) = \frac{X_p(s)}{X_v(s)} = \frac{K_q/A_p}{s\left(\frac{s^2}{\omega_n^2} + \frac{2\zeta_n}{\omega_n}s + 1\right)} \quad (9)$$

式中,  $K_q$  为四通滑阀流量增益( $\text{m}^3/\text{s} \cdot \text{A}$ ),  $K_{ce}$  为流量压力系数,  $\zeta_n$  为缸阻尼系数,  $\omega_n$  为缸阻尼比,  $D$  为缸内径(mm),  $d$  为活塞杆直径(mm)。

## 1.4 位置传感器数学模型

在对位移传感器建立模型时,常常把其看作成近似比例环节,因此,可建立如下比例环节  $K_f$ :

$$K_f = \frac{U_{\max}}{L_{\max}} \quad (10)$$

式中  $U_{\max}$  为最大输出电压(V),  $L_{\max}$  为最大线性位移行程(m)。

## 2 基于 Oustaloup 算子的模糊自适应分数阶纠偏控制器设计

考虑到 Oustaloup 算子在分数阶领域的优越性,将分数阶  $\text{PI}^\alpha D^\delta$  进行改进,加入改进后的 Oustaloup 算子,提高控制精度;同时,将改进后的 Oustaloup 算子推广到模糊控制领域,以达到提高控制器自适应性的目的。

### 2.1 分数阶 $\text{PI}^\alpha D^\delta$

分数阶微积分是对整数阶微积分的推广,其分数微积分基本算子为  ${}_a D_b^\alpha$ ,  $a$  与  $b$  是算子的在积分运算的上、下界;  $\alpha$  为算子的阶数且  $\alpha \in R$ , Grunwald - Letnikov 定义分数阶为

$${}_a D_b^\alpha = \lim_{h \rightarrow 0} \frac{1}{h^\alpha} \sum_{j=0}^{\lceil t-a/h \rceil} (-1)^j \binom{\alpha}{j} f(t-jh) \quad (11)$$

当初始条件为  $\alpha = 0$  时, 对式(11)进行拉式变换为

$$\mathcal{L}\{{}_0 D_b^\alpha f(t)\} = s^\alpha F(s) \quad (12)$$

因此, 可将整数阶 PID 控制器推广到分数阶  $PI^\lambda D^\delta$  控制器,  $\lambda, \delta$  分别为积分因子、微分因子 ( $\lambda, \delta > 0$ ), 其拉式变换传递函数为

$$C(s) = \frac{U(s)}{E(s)} = K_p + T_i s^{-\lambda} + T_d s^\delta \quad (13)$$

当  $\lambda$  与  $\delta$  都为整数时, 为有限维数整数阶系统;  $\lambda$  与任一参数为分数, 从理论上分析可达到无限维度, 因此分数阶构造的系统是一个比较复杂的系统, 为描述分数阶系统, 需构造与其系统对应的微分方程为

$$u(t) = K_p e(t) + T_i D_t^{-\lambda} e(t) + T_d D_t^\delta e(t) \quad (14)$$

由于分数阶控制与整数阶不同, 因此不可直接采取整数阶控制器方法, 可通过对有理函数的近似化或离散化等方式进行研究, 同时由于分数阶的多维度, 可获得更好的控制效果。

## 2.2 基于 Oustaloup 近似法整定分数阶 $PI^\lambda D^\delta$

近似法在分数阶系统中广泛应用, 主要分为直接近似法与间接近似法, 其中基于 Oustaloup 滤波器的间接近似法更加精确。在忽略高、低频段时, 在特定频段  $[\omega_b, \omega_h]$  可得 Oustaloup 近似滤波器如下:

$$Gf(s) = K \prod_{k=1}^N \frac{s + \omega'_k}{s + \omega_k} \quad (15)$$

根据式(16)求出式(15)的零极点与增益:

$$\begin{cases} \omega'_k = \omega_b \omega_u^{(2k-1-\gamma)/N} \\ \omega_k = \omega_b \omega_u^{(2k-1+\gamma)/N} \\ K = \omega_h^\gamma \end{cases} \quad (16)$$

式中,  $\gamma$  表示分数阶阶数,  $N$  为滤波器阶数,  $\omega_u = \sqrt{\omega_b/\omega_h}$ 。

为改进高、低频段的近似精度低的问题, 取频段  $[0.001, 1000]$ , 滤波器阶数为 5 阶, 引入  $b > 0, d > 0$  且  $0 < \gamma < 1$ , 以提高频段两段近似效果, 令:

$$D(s) = \left( \frac{1 + \frac{s}{d\omega_b/b}}{1 + \frac{s}{b\omega_h/d}} \right)^\gamma \quad (17)$$

通过泰勒公式, 取频段  $\omega_b < \omega < \omega_h$  的一阶近似可得:

$$s^\gamma = \left( \frac{d\omega_b}{b} \right)^\gamma \left( \frac{ds^2 + bs\omega_h}{d(1 - \gamma)s^2 + bs\omega_h + d\gamma} \right) D(s) \quad (18)$$

通过 Oustaloup 递推, 将  $D(s)$  表示为零、极点形式:

$$D(s) = \lim_{k=-N} \frac{1 + s/\omega'_k}{1 + s/\omega_k} \quad (19)$$

进而得到改进后的算子:

$$s^\gamma = \left( \frac{9\omega_h}{10} \right)^\gamma \left( \frac{9s^2 + 10s\omega_h}{9(1 - \gamma)s^2 + 10s\omega_h + 9\gamma} \right) \prod_{k=1}^5 \frac{s + \omega'_k}{s + \omega_k} \quad (20)$$

因此, 基于改进 Oustaloup 近似法分数阶  $PI^\lambda D^\mu$  控制结构如图 2 所示。

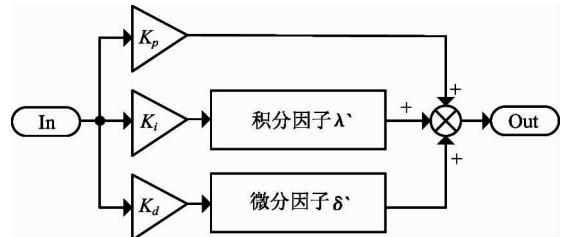


图 2 基于改进 Oustaloup 近似法分数阶  $PI^\lambda D^\delta$  控制结构图

## 2.3 基于改进 Oustaloup 近似法整定模糊自适应分数阶 $PI^\lambda D^\delta$

文献[7]将模糊控制与分数阶结合, 由于其直接对  $PI^\lambda D^\mu$  离散化, 使在实际应用时, 控制器需要大量运算。提出基于改进 Oustaloup 算子的模糊自适应分数阶纠偏控制器设计, 其实质为通过改进的  $s^\gamma$  算子, 将模糊自适应 PID 控制器推广到分数阶领域, 基于改进 Oustaloup 近似法模糊自适应分数阶控制器结构如图 3 所示。

通过改进的 Oustaloup 近似法分数阶  $PI^\lambda D^\delta$  设置初始值参数  $K_{p1}, K_{i1}, K_{d1}$ , 在系统运行中, 控制器可以根据误差  $e$  及误差变化率  $ec$  的值, 通过模糊推理, 输出在  $t$  时模糊推理出各参数调整量  $\Delta K_p(k)$ 、 $\Delta K_i(k)$ 、 $\Delta K_d(k)$ , 因此, 基于改进 Oustaloup 近似法整定模糊自适应分数阶  $PI^\lambda D^\delta$  算子为

$$u(k) = K_p(k)e(k) + K_i(k) \sum_{i=1}^k e(k) \quad (21)$$

$$+ K_d(k) [e(k) - e(k-1)] \quad (21)$$

则  $K_p(k) = K_{p1} + \Delta K_p(k)$ ,  $K_i(k) = K_{i1} + \Delta K_i(k)$ ,  $K_d(k) = K_{d1} + \Delta K_d(k)$ 。

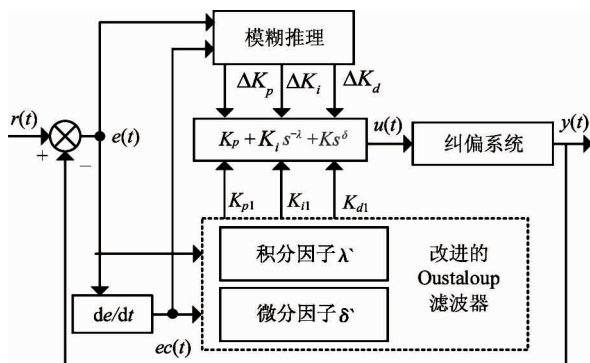


图3 基于改进 Oustaloup 近似法模糊自适应分数阶控制器结构图

### 3 模糊自适应非线性分数阶纠偏控制器设计

提出一种新的控制方法,将传统的线性控制器加入非线性函数,增加了控制器的控制参数的自由度,结合改进后的 Oustaloup 算子,并推广至模糊控制领域,使纠偏控制器获得更好的控制效果。

#### 3.1 非线性分数阶 $\text{PI}^\lambda \text{D}^\delta$ 控制器设计

针对分数阶控制的改进,文献[11-13]是通过优化参数的方法对传统分数阶进行改进,式(21)提出基于 Oustaloup 算子的模糊自适应分数阶  $\text{PI}^\lambda \text{D}^\delta$ ,以上都属于线性 PID 控制,因此,本文提出基于改进 Oustaloup 算子的非线性分数阶控制器,其算子为

$$u(t) = f(e) [K_p e(t) + K_i D_t^{-\lambda} e(t) + K_d D_t^\delta e(t)] \quad (22)$$

函数  $f(e)$  是误差  $e$  的非线性函数,可用各种非线性函数来定义  $f(e)$ ,根据文献[14]选定广泛使用的非线性函数如式(23)所示。

$$f(e) = K_0 + (1 - K_0) |e(t)|, K_0 \in [0, 1] \quad (23)$$

当  $K_0 = 1$  时,根据式(23)可知,  $f(e) = 1$ ,即式(22)此时称为传统线性分数阶控制器;当  $K_0 \neq 1$  时,即式(22)此时为多个自由度控制器。 $f(e)$  在  $K_0$  取不同值 ( $0 \leq m \leq K_0 \leq n \leq 1$ ) 时,如图 4 所示。

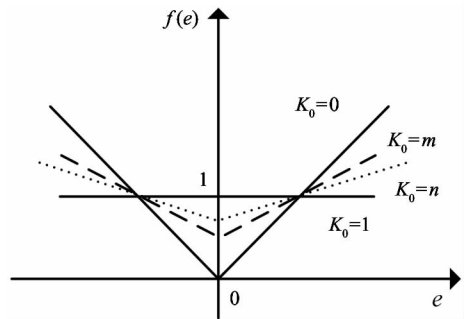


图4 不同  $K_0$  时  $f(e)$  的函数性质

进而对非线性函数  $f(e)$  进行推广,定义误差  $e$  的调整拐点为  $e_l$  与  $e_h$  ( $e_l < e_h$ ),则对  $f(e)$  的不同定义如图 5 所示。

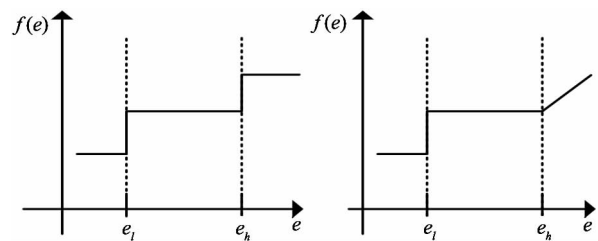


图5 非线性函数  $f(e)$  的不同定义

根据误差  $e$  的调整拐点  $e_l$  与  $e_h$ ,将期望误差尽可能地靠近调整拐点,因此,进一步推广到以误差  $e$  的调整拐点  $e_l$  与  $e_h$  为影响因子的控制器,定义:

$$\begin{aligned} f(e) &= 1 & e > e_h \\ f(e) &= K_0 + (1 - K_0) |e(t)| & e \in (e_l, e_h), K_0 \geq 0 \\ f(e) &= 1 & e < e_l \end{aligned} \quad (24)$$

式(24)可表示为  $f(e) = k(e)e(t)$ ,  $k(e)$  为根据误差  $e$  的调整拐点  $e_l$  与  $e_h$  的时变函数,同时  $e_l$  与  $e_h$  控制着控制器的调节精度与速度,因此可以设计非线性分数阶  $\text{PI}^\lambda \text{D}^\mu$  控制器为

$$\begin{aligned} u(t) &= f(e) [K_p + K_i D_t^{-\lambda} + K_d D_t^\delta] \\ &= [K_p k(e)] e(t) + [K_i k(e)] D_t^{-\lambda} e(t) \\ &\quad + [K_d k(e)] D_t^\delta e(t) \\ &= K_{[pk(e)]} e(t) + K_{[ik(e)]} D_t^{-\lambda} e(t) \\ &\quad + K_{[dk(e)]} D_t^\delta e(t) \end{aligned} \quad (25)$$

$K_{[pk(e)]}, K_{[ik(e)]}, K_{[dk(e)]}$  是根据时变函数  $f(e)$  而

改变的时变参数,通过非线性分数阶  $\text{PI}^\lambda \text{D}^\delta$  控制器非线性判断进行参数的动态调整,提高了控制器的速度、精度、灵敏度,则非线性分数阶  $\text{PI}^\lambda \text{D}^\delta$  控制器结构如图 6 所示。

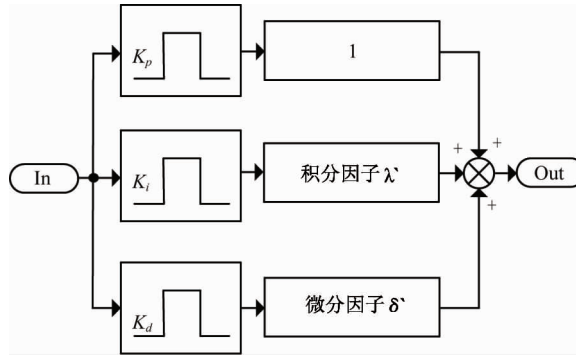


图 6 非线性分数阶  $\text{PI}^\lambda \text{D}^\delta$  控制器结构

### 3.2 模糊自适应非线性分数阶 $\text{PI}^\lambda \text{D}^\delta$ 控制器设计

通过式(21)可知,模糊控制使控制器更具有自适应性,提高了控制器的动态性能,因此,将非线性分数阶  $\text{PI}^\lambda \text{D}^\delta$  控制器推广到模糊控制中,提出基于改进 Oustaloup 算子的模糊自适应非线性分数阶控制器,可得算子:

$$\begin{aligned} u(k) &= f(e) \left\{ K_p(k)e(k) + K_i(k) \sum_{i=1}^k e(i) \right. \\ &\quad \left. + K_d(k)[e(k) - e(k-1)] \right\} \\ &= [K_p(k)f(e)]e(k) + [K_i(k)f(e)] \sum_{i=1}^k e(i) \\ &\quad + [K_d(k)f(e)][e(k) - e(k-1)] \\ &= K_{[pf(e)]}(k)e(k) + K_{[if(e)]}(k) \sum_{i=1}^k e(i) \\ &\quad + K_{[df(e)]}(k)[e(k) - e(k-1)] \end{aligned} \quad (26)$$

则  $K_{[pf(e)]} = K_{[pk(e)]} + \Delta K_p(k)$ ,  $K_{[if(e)]} = K_{[ik(e)]} + \Delta K_i(k)$ ,  $K_{[df(e)]} = K_{[ik(e)]} + \Delta K_i(k)$

式(26)通过基于改进 Oustaloup 算子分数阶的近似计算、模糊自适应控制、参数整定时的非线性时变调整,不仅提高了控制器的鲁棒性,也提高了控制器的自适应性。模糊自适应非线性分数阶  $\text{PI}^\lambda \text{D}^\delta$  控制器结构如图 7 所示。

根据误差  $e$  数值的大小,分数阶控制利用微积分记忆特性弥补了整数阶控制局部特征的缺点,有效地扩大了控制器的维度,同时运用改进 Oustaloup 算子,使控制模型更加精确,提高了控制器的准确

度;通过模糊推理,对控制参数进行微量的调节,进一步提高了控制精度;通过调整非线性函数  $f(e)$ ,将控制器推广到非线性领域,能有效地提高控制器的收敛速度,严格控制控制器的精度。对非线性复杂系统具有很好的控制作用。

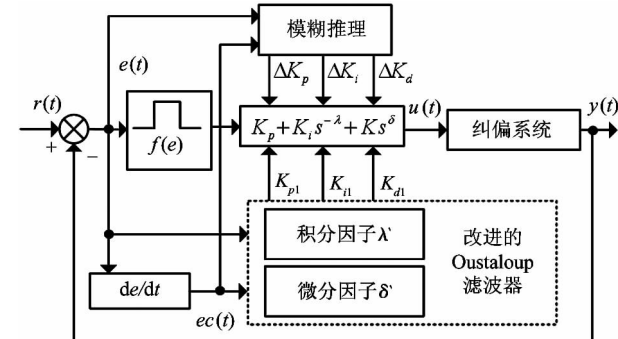


图 7 模糊自适应非线性分数阶  $\text{PI}^\lambda \text{D}^\delta$  控制器结构

## 4 仿真实验与分析

仿真参数:  $K_{sv} = 0.0152 \text{ m}^3/\text{s} \cdot \text{A}$ 、 $\omega_{sv} = 829 \text{ rad/s}$ 、 $\zeta_{sv} = 0.6$ 、 $I_0 = \pm 10 \text{ mA}$ 、 $U_I = \pm 10 \text{ V}$ 、 $m_t = 24000 \text{ kg}$ 、 $K_q = 1$ 、 $A_p = 0.0137 \text{ m}^2$ 、 $\omega_n = 79.1 \text{ rad/s}$ 、 $\zeta_n = 0.4$ 、 $U_{\max} = 5 \text{ V}$ 、 $L_{\max} = 0.15 \text{ m}$ ,以此建立纠偏系统,进行仿真实验。

### 4.1 改进 Oustaloup 对控制器的影响

根据式(15)与(20),Oustaloup 算子<sup>[15,16]</sup>在频段[0.001,1000],滤波器阶数为 5 阶时改进前后的对比近似效果如图 8 所示。

分析可得,改进分数阶算子可以使控制器在控制精度上更加精确;算子从 -1 至 1 的近似过程中,体现出分数阶的逐渐逼近过程,同时可以观察到,改进后算子幅频与相频范围较大,特别在频段两段近似效果更佳,从而提高了控制器的精确度。

### 4.2 非线性算子 $f(e)$ 对控制器的影响

根据式(24)与(26),对于变化的输入误差,在  $K_0$  取不同值时,控制器的输出效果对比如图 9 所示。

分析可得,当  $K_0 = 1$  时,根据式(24)  $f(e) = 1$ ,则式(26)为式(21)的形式,为常规的线性控制器,且由图 9 中可以观察到此时控制误差最大;当  $K_0 = 0$

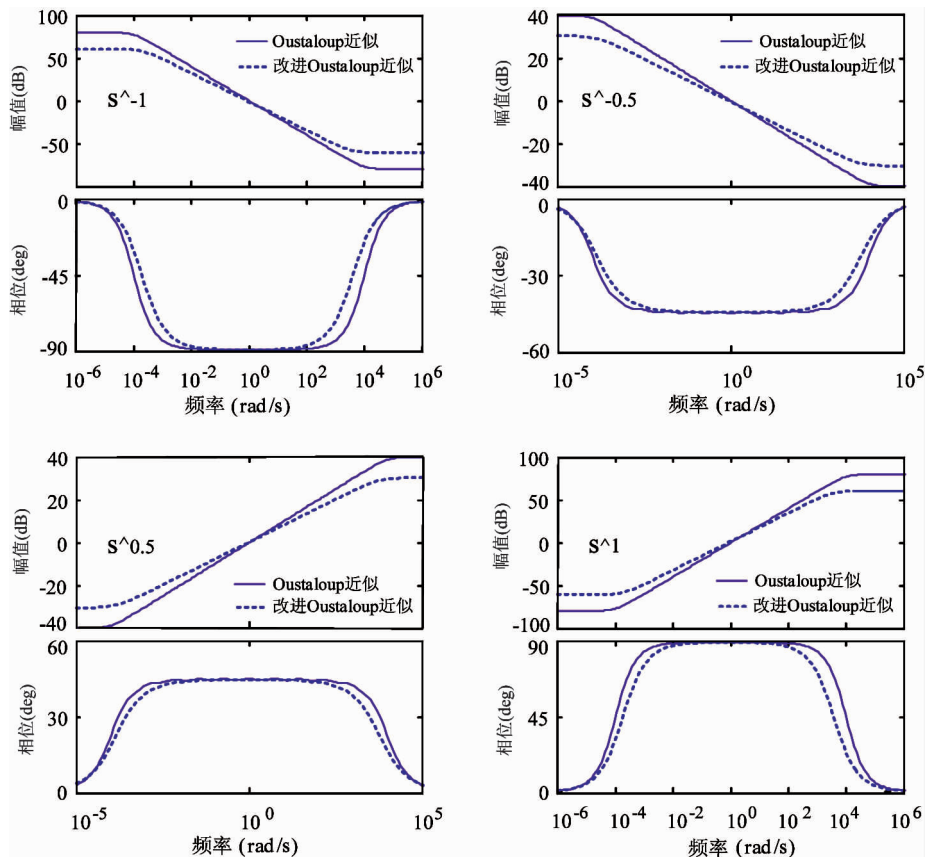
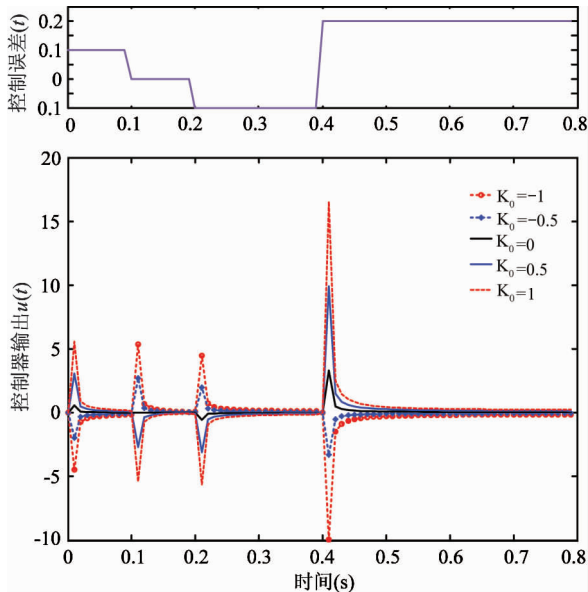


图 8 Oustaloup 近似法 Bode 图效果对比

图 9  $K_0$  对控制误差的影响

时,根据式(24)  $f(e) = |e(t)|$ ,此时式(26)为非线性控制器,且由图9中可观察到此时控制效果最佳。

#### 4.3 控制方法对比

针对带钢纠偏系统,且在2 s时,改变系统输入

的阶跃信号,将基于改进 Oustaloup 算子的模糊自适应分数阶纠偏控制算法与基于改进 Oustaloup 算子的模糊自适应非线性分数阶纠偏控制算法进行仿真实验,结果如图 10 所示。

分析可得,通过与普通 PID、模糊自适应 PID、分数阶  $PI^\alpha D^\delta$  对比,本文提出的基于改进 Oustaloup 算子的模糊自适应分数阶纠偏控制算法与基于改进 Oustaloup 算子的模糊自适应非线性分数阶纠偏控制算法在稳态精度、调节时间、超调量等时域指标上都有所提高,获得更佳的控制效果。且在 2 s 时输入突变信号,控制效果不变。

由表 1 可知,基于改进 Oustaloup 算子的模糊自适应分数阶纠偏控制算法稳态精度最高且无超调,调节时间相对较短。

基于改进 Oustaloup 算子的模糊自适应非线性分数阶纠偏控制算法使调节时间最短,且在调节时控制器输出平滑,明显减小了振荡量的大小,显著地提高了控制品质。

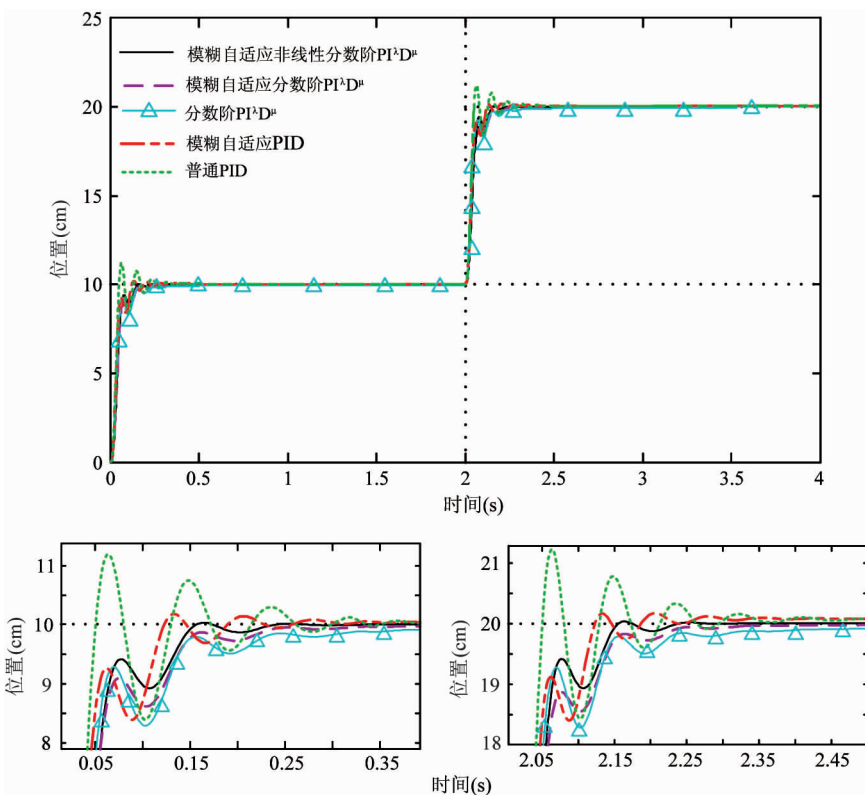


图 10 不同控制方法阶跃响应对比图

表 1 不同控制方法时域指标

控制方法	调整时间(s)	最大超调量	稳态误差(cm)
模糊自适应非线性分数阶 PI <sup>λ</sup> D <sup>μ</sup>	0.28	0.38%	+0.06
模糊自适应分数阶 PI <sup>λ</sup> D <sup>μ</sup>	0.4	无	-0.04
分数阶 PI <sup>λ</sup> D <sup>μ</sup>	0.45	无	-0.14
模糊自适应 PID	0.51	1.89%	+0.40
普通 PID	0.6	12%	+0.35

## 5 结论

对带钢纠偏系统模型进行仿真实验,分析了改进 Oustaloup 算子与非线性算子  $f(e)$  对控制器的影响,提出基于改进 Oustaloup 算子  $z$  的模糊自适应分数阶纠偏控制算法(与普通 PID 相比,精度提高了 88.57%)与基于改进 Oustaloup 算子的模糊自适应非线性分数阶纠偏控制算法(与普通 PID 相比,时间缩短 53.33%),与其他算法对比可知,本文提出的两种算法在带钢纠偏控制方面更具有优越性,完

全满足带钢在工程实际中的纠偏要求,对纠偏精度与实时性要求较高的工程具有借鉴意义。

## 参考文献

- [1] 权龙, 李敏, 姚李威, 等. 核心器件冗余的低能耗电液伺服纠偏控制技术 [J]. 机械工程学报, 2009, 45 (12):53-58
- [2] Yao J, Deng W. Active Disturbance Rejection Adaptive Control of Hydraulic Servo Systems [J]. IEEE Transactions on Industrial Electronics, 2017, 64 (10): 8023-8032
- [3] 段锁林, 王明智. 不确定性电液位置伺服系统的自适应滑模控制 [J]. 机床与液压, 1999(2):41-42
- [4] Bouarroudj N, Boukhetala D, Boudjema F. A hybrid fuzzy fractional order PID sliding-mode controller design using PSO algorithm for interconnected nonlinear systems [J]. Control Engineering & Applied Informatics, 2015, 17(1):41-51
- [5] 薛定宇, 赵春娜. 分数阶系统的分数阶 PID 控制器设计 [J]. 控制理论与应用, 2007, 24(5):771-776
- [6] 吴振宇, 赵亮, 冯林. 基于分数阶 PID 控制器的智能车控制 [J]. 控制工程, 2011, 18(3):401-404

- [ 7 ] 梁涛年,陈建军,王媛,等. 分数阶系统模糊自适应分数阶  $PI^{\alpha}D^{\mu}$  控制器[J]. 北京工业大学学报, 2013, 39(7):1040-1045
- [ 8 ] 齐乃明,宋志国,秦昌茂. 基于最优 Oustaloup 的分数阶 PID 参数整定[J]. 控制工程, 2012, 19(2):283-285
- [ 9 ] 齐乃明,秦昌茂,王威. 分数阶系统的最优 Oustaloup 数字实现算法[J]. 控制与决策, 2010, 25(10):1598-1600
- [ 10 ] 王春行. 液压控制系统[M]. 北京:机械工业出版社, 2005: 40-52
- [ 11 ] Chaleshtori H N, Mohammadi S M A, Bijami E. Optimal design of fractional order fuzzy PID controller with simultaneous auto-tuned fuzzy control rules and membership functions[C]. In: Proceedings of the 2017 2nd Conference on Swarm Intelligence and Evolutionary Computation, Kerman, Iran, 2017. 100-105
- [ 12 ] Zamani A A, Bijami E, Sheikholeslam F, et al. Optimal fuzzy load frequency controller with simultaneous auto-
- tuned membership functions and fuzzy control rules[J]. *Turkish Journal of Electrical Engineering & Computer Sciences*, 2014, 22(1):66-86
- [ 13 ] Kumar A, Kumar V, Gaidhane P J. Optimal design of fuzzy fractional order  $PI^{\alpha}D^{\mu}$ , controller for redundant robot[J]. *Procedia Computer Science*, 2018, 125:442-448
- [ 14 ] Bobál V, Böhm J, Prokop R. Practical aspects of self-tuning controllers[J]. *International Journal of Adaptive Control & Signal Processing*, 1999, 13(8):671-690
- [ 15 ] Oustaloup A, Levron F, Mathieu B, et al. Frequency-band complex noninteger differentiator: characterization and synthesis[J]. *IEEE Transactions on Circuits & Systems I Fundamental Theory & Applications*, 2002, 47(1):25-39
- [ 16 ] Mahata S, Saha S K, Kar R, et al. Optimal and accurate design of fractional-order digital differentiator—an evolutionary approach[J]. *LET Signal Processing*, 2017, 11(2):181-196

## Study on the control strategy of fuzzy adaptive fractional order steel strip deviation rectification

Che Haijun\*, \*\*, Ma Lufei\*, \*\*, Yang Jingming\*, \*\*, Wu Binglin\*, \*\*

(\* Key Lab of Industrial Computer Control Engineering of Hebei Province, Yanshan University, Qinhuangdao 066004)

(\*\* National Engineering Research Center for Equipment and Technology of Cold Strip Rolling, Qinhuangdao 066004)

### Abstract

Aiming at the problem of slow tracking speed and low precision caused by butterfly region and internal leakage of electro-hydraulic servo system in the process of metallurgical strip rolling, combining fractional order control theory, improving Oustaloup operator approximation filtering, fuzzy adaptive control, adding a nonlinear control factor at the same time, a fuzzy adaptive fractional order linear and nonlinear correction algorithm based on improved Oustaloup operator for multi-parameter degrees of freedom is proposed. After comparison of simulation experiments, the accuracy of the control algorithm is improved by 88.57% and the time is shortened by 53.33%, which is better than ordinary PID. It can not only guarantee the optimal trajectory tracking, but also improve the robustness of model uncertainty and transient interference suppression.

**Key words:** correction control, electrohydraulic servo system, position tracking, fractional order, fuzzy adaptive